

УДК 621

DOI: 10.12737/article\_59353e29d22508.11477409

О.Н. Дмитроченко

## РАСШИРЕННЫЙ ДЕСЯТИЧНЫЙ НОМЕНКЛАТУРНЫЙ КОД *DNCM* ОПИСАНИЯ ПРОИЗВОЛЬНОГО КОНЕЧНОГО ЭЛЕМЕНТА

Рассмотрена модификация ранее разработанного десятичного номенклатурного кода *DNCM* для описания и классификации произвольного конечного элемента. Предложена новая система классификации, описывающая неохваченные ранее

большие группы элементов сложной геометрии и кинематики.

**Ключевые слова:** конечный элемент, классификация, номенклатура, десятичный код.

O.N. Dmitrochenko

## EXTENDED DECIMAL NOMENCLATURE *DNCM* CODE FOR DESCRIPTION OF ARBITRARY FINITE ELEMENT

The purpose of the work – extension of a systematic classification of finite elements offered earlier by the author with the purpose of inclusion in it new types of elements with a complex kinematic structure.

There is offered a modification of a decimal nomenclature *dncmkot* code of finite elements. The code is based on the presentation of geometry and structure of unit coordinates by a set of integral parameters: *d* – dimensionality, *n* – unit number, *c* – structure and number of coordinates in a unit, *m* – polynomial number. It is emphasized that there is a wide class of elements which does not fall under this classification. In these elements there is first introduced an intermediate element and then a linear transformation between them.

It is offered to designate for some wide groups of elements one or some parameters – *n*, *c*, *m* and others having a clear sense which modify a procedure of the formation of functions of an element form. There are shown examples of the description of elements with a complex kinematic structure on the basis of the offered modification of a decimal code.

The offered modified decimal nomenclature code of finite elements allows describing the existing and creating new finite elements of a wide class according to the specified *dncmkot* code.

**Key words:** finite element, classification nomenclature, decimal code .

### Введение

Данная статья посвящена новому способу построения универсальной классификации конечных элементов и является продолжением и обобщением работы **Ошибка! Источник ссылки не найден.**] Идея введения десятичного номенклатурного кода в виде *dncm* с произвольными положительными разрядами *d*, *n*, *c*, *m* и т.д. была впервые предложена в работе 6]. В сформированном и законченном виде этот материал был сформулирован как формальный алгоритм в работе **Ошибка! Источник ссылки не найден.**]. Однако конечные элементы настолько разнообразны, что эта процедура требует модификации для учёта всех особенностей, возникающих в приложениях.

В работе 8] ранее были рассмотрены более сложные элементы. Их общая осо-

бенность такова: они обладают неким набором узловых координат *Z*, который формально соответствует некоторому коду *dncm*. Однако кинематика такого элемента требует, чтобы сперва был создан вспомогательный элемент (*dηζμ*) с использованием другого числа узлов *η* и кинематических параметров *ζ*, *μ*, обладающий другим набором узловых координат *Ž*. После этого некоторое линейное преобразование *T* над координатами приводит к элементу, который можно систематически обозначить *dncm* (*dηζμ*){*Ž* = *T*(*Z*)} и назвать расширенным десятичным кодом, как было предложено в работе 8]. Эта нотация значительно расширяет круг охватываемых элементов, но получает также и недостаток в виде потери лаконичности записи в отличие от исходной *dncm*.

В данной статье впервые делается попытка вернуть расширенному коду лаконичность исходного кода *dncm*, а именно: для обозначения специальных групп элементов, имеющих широкое применение в приложениях, параметрам *n*, *c*, *m* и т.д.

**1. Базовые элементы вида *dncm***

Большинство примеров, используемых в данной статье, связаны с двухмерными элементами. Поэтому идея десятичного кода *dncm* будет приведена только для них, без ущерба для общности в других случаях, описанных в предшествующей статье **Ошибка! Источник ссылки не найден.**].

Для обозначения конечных элементов вводится базовая трёхразрядная номенклатура *dnc*, содержащая следующие целые параметры:

*d* – размерность элемента, здесь *d* = 2;

*n* – число узлов элемента;

*c* – параметр, описывающий число и структуру координат в каждом узле.

Код *dnc* описывает элемент с *n* узлами, в которых введено *c* координат в узле. Данное обозначение может быть расширено до  $d_{\eta \zeta}^{n c}$ , если добавлены  $\eta$  узлов на сторонах элемента, каждый из которых имеет  $\zeta$  узловых координат. Также используются расширения  $d_{\pi \sigma}^{n c}$  и даже  $d_{\pi \sigma}^{n c}$  для

разрешается принимать также и отрицательные значения, которые имеют чётко определённый смысл и влияют определённым образом на формальную процедуру построения элементов.

двух- и трёхмерных элементов, в которых введены дополнительные  $\pi$  узлов на гранях элемента и  $\nu$  узлов в объёме трёхмерного элемента;  $\sigma$  и  $\zeta$  – параметры, определяющие узловые координаты в соответствующих группах узлов. Обозначение  $d_{\dots}^{n c}$  позволяет непосредственно определить число степеней свободы элемента *D* согласно следующему правилу:

$$D = |n|C(c) + |\eta|C(\zeta) + |\pi|C(\sigma) + |\nu|C(\zeta). \quad (1)$$

Числа узлов в формуле **Ошибка! Источник ссылки не найден.** взяты по модулю, потому что в общем случае они могут быть отрицательными (для обозначения специальных случаев). Функция *C(c)* задана ниже соотношениями (4) и показывает, сколько узловых координат соответствует коду *c*.

Интерполяционный полином произвольного двухмерного элемента с кодом  $Z_{\pi \sigma}^{nc}$  зависит от двух локальных координат *x* и *y* и может быть записан таким образом:

$$Z_{\pi \sigma}^{nc}(x, y) = \sum_{k=0}^{D-1} a_{k+1} x^{\alpha_{Dk}^{21}} y^{\alpha_{Dk}^{22}} = \underbrace{\{x^{\alpha_{D0}^{21}} y^{\alpha_{D0}^{22}} \ x^{\alpha_{D1}^{21}} y^{\alpha_{D1}^{22}} \ \dots \ x^{\alpha_{D,D-1}^{21}} y^{\alpha_{D,D-1}^{22}}\}}_{\mathbf{x}(x,y)} \cdot \underbrace{\{a_1 \ a_2 \ \dots \ a_D\}^T}_{\mathbf{a}} = \mathbf{x}(x, y) \cdot \mathbf{a}, \quad (1)$$

где  $\alpha_{Dk}^{21}$ ,  $\alpha_{Dk}^{22}$  – показатели степеней полиномиальных членов из матрицы, определённой в работе **Ошибка! Источник ссылки не найден.**]; индекс *k* пробегает

диапазон 0, ..., *D* – 1. В той же работе показано, что элементы этой матрицы могут быть вычислены согласно несложному алгоритму:

$$\begin{aligned} g &= \lfloor (\sqrt{1+8(k+1)} - 1)/2 - 1 \rfloor; & d &= \lfloor (\sqrt{1+8D} - 1)/2 - 1 \rfloor; \\ k_0 &= g(g+1)/2; & k_{12} &= \{D=12\} \{d=g\}; \\ B &= \lfloor (k_0 + g - k - k_{12})/2 \rfloor; & M &= ((k_0 + g - k - k_{12}) \bmod 2) \cdot (1 - \{d=g\} \{d=k+1\}); \\ \alpha_{Dk}^{21} &= (1-M)B + M(g-B); \\ \alpha_{Dk}^{22} &= (1-M)(g-B) + MB \equiv g - \alpha_{Dk}^{21}. \end{aligned}$$

**1.1. Граничные условия в узлах элемента**

Полиномиальные коэффициенты *a<sub>k</sub>* в формуле (1) определяются из граничных

условий. Они формулируются в каждом узле элемента с индексом *i*; в каждом та-

ком узле может быть введено одно граничное условие (или более) с индексом  $j$ . Каждое условие подразумевает, что значение производной определённого порядка от полинома  $Z$  в данном узле должно быть равно узловой координате. Таким образом, в самом общем случае, рассматриваемом в

данной работе, следующая система линейных уравнений может быть записана с использованием предварительно подготовленных массивов  $E_{ij}$  и  $B_{lk}$  (матрица перемешивания узловых координат, которая чаще всего равна единичной):

$$\frac{\partial^{\alpha_{DE_{ij}}^{21} + \alpha_{DE_{ij}}^{22}} Z^{2nc}(x, y)}{\partial x^{\alpha_{DE_{ij}}^{21}} \partial y^{\alpha_{DE_{ij}}^{22}}} \Big|_{\substack{x=x_i \\ y=y_i}} = \sum_{k=1}^D B_{lk} z_k \equiv \sum_{r=1}^N \sum_{s=0}^{\dim[E_r]-1} B_{ijrs} Z_{r,s} \quad (2)$$

В уравнении (2) массив целых чисел  $E_{ij}$  содержит порядки производных, требуемых для выполнения граничных условий. Первый индекс  $i$  пробегает все узлы элемента:  $i = 1, \dots, N$ ;  $N = \dim[E]$ ; диапазон изменения индекса  $j = 0, \dots, \dim[E_i] - 1$  может изменяться в зависимости от индекса узла  $i$ , т.е. значение  $\dim[E_i]$  равно числу граничных условий в узле  $i$ .

элементы даются в круглых скобках. В большинстве случаев структура массива одинакова для всех узлов и достаточно указать только фигурные скобки для одного узла:  $E_{ij} = \{(E_{i0}), (E_{i1}), \dots\}$ .

Ниже в работе массив  $E_{ij}$  представляется таким образом:  $E_{ij} = [\{(E_{10}), (E_{11}), \dots\}, \{(E_{20}), \dots\}, \dots]$ . Т.е. весь массив заключается в квадратные скобки, его часть, относящаяся к конкретному узлу, помещается в фигурные скобки, и, наконец, скалярные

В уравнении (2) узловые координаты обозначаются двумя эквивалентными способами: с использованием двух индексов,  $Z_{r,s}$ , где индекс  $r$  соответствует номеру узла, а  $s$  – индексу координаты в узле (начиная с 0); с использованием одного индекса,  $Z_k$ , где  $k = 1, \dots, D$  – глобальный номер координаты в элементе. В разных частях работы одно из двух представлений оказывается более удобным, чем другое.

### 1.2. Параметр $c$ для обозначения структуры узловых координат

Общая формула для вычисления значений  $E_{ij}$  для разных типов представления параметра  $c$  может быть записана так:

$$E_{ij} = \begin{cases} j & j=0, \dots, C(c)-1, \text{ если } c \leq 9 - \text{цифра} & (c = 3): & E_{ij} = \{(0), (1), (2)\}; \\ I_j & j=0, \dots, C(c)-1, \text{ если } c - \text{двоичное} & (c = 1101): & E_{ij} = \{(0), (2), (3)\}. \end{cases} \quad (3)$$

Функция  $C(c)$ , встречающаяся в формулах (3) и **Ошибка! Источник ссылки не найден.**, возвращает число узловых координат, соответствующих узловому коду  $c$ ; эта функция определена так:

$$C(c) = \begin{cases} c, & \text{если } c \leq 9 - \text{цифра} : & C(3) = 3; \\ \text{число единиц в } c, & \text{если } c - \text{двоичное} : & C(1101) = 3. \end{cases} \quad (4)$$

*Параметр  $c$  в виде одной десятичной цифры,  $c \leq 9$*

В самом распространённом случае параметр  $c$  равен числу производных от переменной  $Z$ , использующихся как узловые степени свободы:  $Z, \frac{d}{dx} Z, \frac{d^2}{dx^2} Z, \dots, \frac{d^{c-1}}{dx^{c-1}} Z$ . Т.е. предполагается непрерывный ряд производных, начиная с 0-й производной (сама переменная  $Z$ ) и заканчивая  $(c - 1)$ -й производной.

*Двоично-десятичный параметр  $c$*

В узлах конечных элементов иногда некоторые из производных могут отсутствовать в списке узловых переменных. В таких случаях может быть использовано двоично-десятичное представление параметра  $c$ . Например, на рис. 1 изображён треугольный элемент Морли [9]. Он имеет 3 узла в вершинах, в каждой из которых введена 1 координата – перемещение узла, и 3 узла на серединах сторон, в которых вве-

дена координата, являющаяся нормальной производной. Эта координата может быть закодирована двоично-десятичным кодом 10, где 0 означает отсутствие координаты-перемещения, а 1 – производную по нормали. Матрица  $E_{ij}$  в этом случае имеет вид  $E_{ij} = [\{(0)\}, \{(0)\}, \{(0)\}, \{(1)\}, \{(1)\}, \{(1)\}]$ . В

другом примере, приведенном в тексте ниже, использован код 110000, соответствующий вторым производным  $\partial^2 Z / \partial x^2$  и  $\partial^2 Z / \partial y^2$ . Подробнее про двоичное кодирование координат можно почитать в [7].

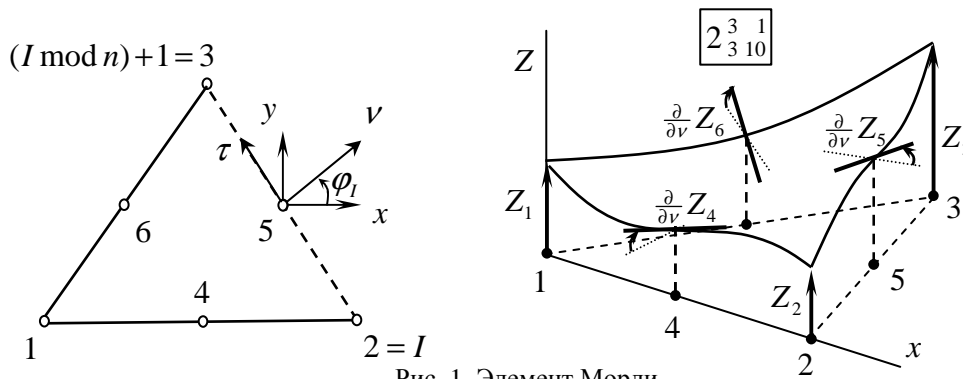


Рис. 1. Элемент Морли

### 1.3. Автоматическое формирование функций формы элемента

Подстановка полинома **Ошибка! Источник ссылки не найден.** в уравнение (2) приводит к системе линейных уравнений

$$\sum_{k=0}^{D-1} \underbrace{(\alpha_{Dk}^{21})_{-\alpha_{DEij}^{21}} (\alpha_{Dk}^{22})_{-\alpha_{DEij}^{22}}}_{W_{l,k+1}} x_i y_i a_{k+1} = \sum_{k=1}^D B_{lk} z_k, \quad (5)$$

для  $i=1, \dots, N$   
для  $j=0, \dots, \dim[E_i]-1$   
 $l=l+1$

которая имеет матричную форму  $\mathbf{W} \cdot \mathbf{a} = \mathbf{B} \cdot \mathbf{z}$ .

Величины  $(k-1)_{-j}$  представляют собой падающий факториал Похгаммера:

$$(\alpha)_{-r} = \underbrace{\alpha \cdot (\alpha-1) \cdot \dots \cdot (\alpha-r+1)}_{r \text{ множителей}} = \begin{cases} \frac{\alpha!}{(\alpha-r)!}, & \text{если } \alpha \geq r; \\ 0, & \text{если } \alpha < r. \end{cases}$$

Компоненты матрицы  $\mathbf{W}$  определены в самом уравнении (5). После решения его относительно вектора  $\mathbf{a}$  полином  $Z^{2nc}(x, y)$  принимает вид

$$Z^{2nc}(x, y) = \underbrace{\mathbf{x}(x, y) \cdot \mathbf{W}^{-1}}_{\mathbf{s}^{2nc}(x, y)} \cdot \mathbf{z} = \mathbf{s}^{2nc}(x, y) \cdot \mathbf{z}. \quad (6)$$

Матрица  $\mathbf{W}$  постоянна, вектор-строка  $\mathbf{x}$  зависит от локальных координат  $x$  и  $y$ , вектор-столбец  $\mathbf{z}$  содержит узловые коор-

динаты, вектор-строка  $\mathbf{s}^{2nc}(x, y)$  содержит функции формы.

## 2. Расширенный десятичный код элемента

В данном разделе впервые вводится расширенный десятичный код с целью охватить им гораздо больший круг элементов, имеющих сложную кинематику. Для обозначения специальных групп элементов, имеющих широкое применение в при-

ложениях, параметрам  $n, c, t$  и т.д. предлагается назначать отрицательные значения, которые имеют чётко определённый смысл и влияют определённым образом на формальную процедуру построения элементов, описанную выше.

### 2.1. Дополнительные функции формы

Известно, что билинейный элемент Q4, или 2412 в предложенной нотации,

имеет избыточную сдвиговую жёсткость при изгибе 4]. Одна из возможностей ис-

править этот недостаток – использование дополнительных (внеузловых) функций формы. Два дополнительных узла вводятся для исправленного элемента Q6 как пока-

зано на рис. 2, слева (иногда они вводятся внутри элемента).

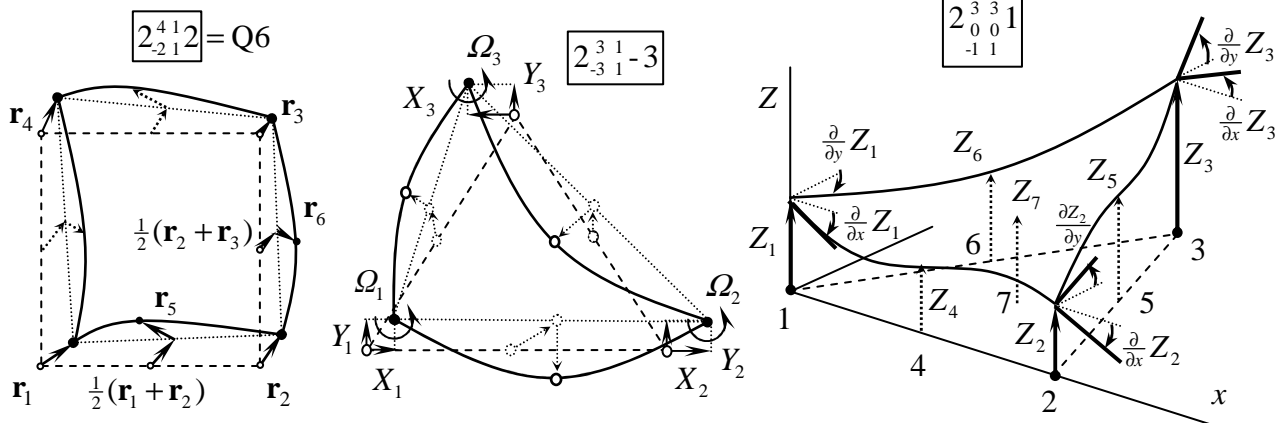


Рис. 2. Элемент Q6 с дополнительными функциями формы; треугольник Оллмана; треугольник Базли

В работе [8] этот элемент был обозначен следующим расширенным кодом:

$$2_2^4 12(2_2^4 12) \{ \tilde{z}_i = z_i; i=1, \dots, 4; \tilde{z}_i = z_i + \frac{1}{2}(z_{i-4} + z_{i-4+1}); i=5, 6 \}. \quad (7)$$

В данной работе этот элемент обозначается простым кодом  $2_{-2}^4 12$  (рис. 2). Знак «минус» в числе узлов  $-2$  отражает тот факт, что дополнительные узлы вводятся временно, т.е. значение  $-2$  имеет смысл  $\pm 2$ . Кроме того, он ссылается на специфическое преобразование координат в формуле (7) и описанное ниже. И вообще, любой элемент, использующий допол-

нительные функции формы, будет обозначаться  $d_{-n}^n 1m$ .

Узловые координаты  $z_5$  и  $z_6$  временных узлов являются не просто их перемещениями, а трактуются как смещения этих узлов относительно середины отрезков (1, 2) и (2, 3) при смещённых узлах 1, 2 и 3. Уравнения (2) при этом принимают следующий явный вид:

$$Z^{d_{-n}^n 1}(x_i, y_i, \dots) = z_i, \quad i = 1, \dots, n,$$

$$Z^{d_{-n}^n 1}(x_i, y_i, \dots) = z_i + \frac{1}{2}(z_{i-n+e} + z_{(i-n+e \bmod n)+1}), \quad i = n+1, \dots, n+\eta.$$

С использованием матрицы  $B_{ij}$  в уравнении (2) это эквивалентно уравнению

$$Z^{d_{-n}^n 1}(x_i, y_i, \dots) = \sum_{j=1}^N B_{ij}^{d_{-n}^n 1} z_j, \quad i = 1, \dots, N, \quad (8)$$

со следующим значением матрицы  $B_{ij}$ :

$$B_{ij}^{d_{-n}^n 1} = \delta_{ij} + \frac{1}{2} \delta_{i-n, j} + \frac{1}{2} \delta_{(i-n) \bmod n+1, j-\delta_{d, 3} \delta_{i, n+\eta} n/2},$$

где  $\delta_{ij}$  – это символ Кронекера.

Функции формы после решения уравнения (8) примут вид

$$s_{i,0}^{d_{-n}^n 1} = s_{i,0}^{dn1}, \quad i = 1, \dots, n,$$

$$s_{n+i,0}^{d_{-n}^n 1} = 1 - \xi_i^2, \quad i = 1, \dots, \eta, \quad (\xi_1 = \xi, \xi_2 = \eta, \xi_3 = \zeta).$$

Элементы, использующие дополнительные функции формы: упомянутый  $2_{-2}^4 12$ , объёмный одиннадцатиузловой  $3_{-3}^8 13$  на основе шестигранника-кубика и

семиузловой  $3_{-1}^6 13$  на основе треугольной призмы. Явный вид матриц  $\mathbf{B}^{d_{-n}^n 1}$  для них следующий:

$$\mathbf{B}^{2,2^4 1} = \begin{bmatrix} 1 & 0 & 0 & 0 & 0 & 0 \\ 0 & 1 & 0 & 0 & 0 & 0 \\ 0 & 0 & 1 & 0 & 0 & 0 \\ 0 & 0 & 0 & 1 & 0 & 0 \\ 0.5 & 0.5 & 0 & 0 & 1 & 0 \\ 0 & 0.5 & 0.5 & 0 & 0 & 1 \end{bmatrix}, \mathbf{B}^{3,3^8 1} = \begin{bmatrix} 1 & 0 & 0 & 0 & 0 & 0 & 0 & 0 & 0 & 0 \\ 0 & 1 & 0 & 0 & 0 & 0 & 0 & 0 & 0 & 0 \\ 0 & 0 & 1 & 0 & 0 & 0 & 0 & 0 & 0 & 0 \\ 0 & 0 & 0 & 1 & 0 & 0 & 0 & 0 & 0 & 0 \\ 0 & 0 & 0 & 0 & 1 & 0 & 0 & 0 & 0 & 0 \\ 0 & 0 & 0 & 0 & 0 & 1 & 0 & 0 & 0 & 0 \\ 0 & 0 & 0 & 0 & 0 & 0 & 1 & 0 & 0 & 0 \\ 0.5 & 0.5 & 0 & 0 & 0 & 0 & 0 & 1 & 0 & 0 \\ 0 & 0.5 & 0.5 & 0 & 0 & 0 & 0 & 0 & 1 & 0 \\ 0 & 0 & 0.5 & 0 & 0 & 0 & 0.5 & 0 & 0 & 1 \end{bmatrix}, \mathbf{B}^{3,3^5 1} = \begin{bmatrix} 1 & 0 & 0 & 0 & 0 & 0 & 0 & 0 \\ 0 & 1 & 0 & 0 & 0 & 0 & 0 & 0 \\ 0 & 0 & 1 & 0 & 0 & 0 & 0 & 0 \\ 0 & 0 & 0 & 1 & 0 & 0 & 0 & 0 \\ 0 & 0 & 0 & 0 & 1 & 0 & 0 & 0 \\ 0 & 0 & 0 & 0 & 0 & 1 & 0 & 0 \\ 0 & 0 & 0 & 0 & 0 & 0 & 1 & 0 \\ 0.5 & 0 & 0 & 0.5 & 0 & 0 & 0 & 1 \end{bmatrix}.$$

**2.2. Геометрическая конденсация узлов**

В данном параграфе в качестве примера приводится элемент 5-узловой призмы, для построения которой применяется конденсация узлов, и объясняется, как

$$\{x_i, y_i, z_i\} = \{\pm 1, \pm 1, -1\}, \quad i = 1, \dots, 4;$$

Интуитивно простой код 351 не может использоваться здесь, потому что он диктует полином

$$Z^{351}(x, y, z) = \sum_{k=0}^{5-1} a_{k+1} x^{\alpha_{5k}^{31}} y^{\alpha_{5k}^{32}} z^{\alpha_{5k}^{33}}, \text{ который не}$$

$$= a_1 + a_2 x + a_3 y + a_4 z + a_5 xyz$$

содержит квадратичных членов. Вместо

$$Z^{3,3^5 1}(x, y, z) = \sum_{k=0}^{8-1} a_{k+1} x^{\alpha_{8k}^{31}} y^{\alpha_{8k}^{32}} z^{\alpha_{8k}^{33}} = a_1 + a_2 x + a_3 y + a_4 z + a_5 xy + a_6 xz + a_7 yz + a_8 xyz.$$

Коэффициенты  $a_1, \dots, a_8$  получаются, как обычно, из системы линейных уравнений  $Z^{3,3^5}(x_i, y_i, z_i) = Z_i, \quad i = 1, \dots, 5$ , вида (2),

$$\begin{bmatrix} 1 & -1 & -1 & -1 & 1 & 1 & 1 & -1 \\ 1 & 1 & -1 & -1 & -1 & 1 & -1 & 1 \\ 1 & 1 & 1 & -1 & -1 & -1 & 1 & -1 \\ 1 & -1 & 1 & -1 & 1 & -1 & -1 & 1 \\ 1 & 0 & 0 & 1 & 0 & 0 & 0 & 0 \end{bmatrix} \cdot \begin{Bmatrix} a_1 \\ a_2 \\ a_3 \\ a_4 \\ a_5 \\ a_6 \\ a_7 \\ a_8 \end{Bmatrix} = \begin{Bmatrix} Z_1 \\ Z_2 \\ Z_3 \\ Z_4 \\ Z_5 \end{Bmatrix},$$

Для нахождения решения такой системы для неизвестных  $a_1, \dots, a_8$  можно применить псевдообратную матрицу Мора–Пенроуза для матрицы  $\mathbf{W}_{[5 \times 8]}$ :

$$\mathbf{a}_8 = \mathbf{W}_{[8 \times 5]}^+ \cdot \mathbf{z}_5 = \mathbf{W}_{[8 \times 5]}^T \cdot \underbrace{[\mathbf{W}_{[5 \times 8]} \cdot \mathbf{W}_{[8 \times 5]}^T]^{-1}}_{=\text{diag}[8,8,8,8,2]} \cdot \mathbf{z}_5. \tag{10}$$

Наконец, функции формы 5-узловой пирамиды вычисляются по формуле (6):

$$s_{i,0}^{3,3^5} = \frac{1}{8}(1 \pm \xi)(1 \pm \eta)(1 - \zeta), \quad i = 1, \dots, 4 \quad (\text{в данном случае } \xi = x, \eta = y, \zeta = z);$$

$$s_{5,0}^{3,3^5} = \frac{1}{2}(1 + \zeta).$$

Таким образом, специальная комбинация  $n < 0$  и  $\eta > 0$  используется в коде  $3_{-3}^{-5} 1$  для представления элементов, которые получаются из вспомогательного элемента с  $|n| + |\eta|$  узлами после конденсации его  $\eta$  узлов в соответствии с формулами (9) и (10). Число  $|n|$  показывает число узлов после конденсации.

данная техника описывается с помощью расширенного кода *dncm*. Узлы единичной призмы обычно заданы так:

$$\{x_5, y_5, z_5\} = \{0, 0, +1\}.$$

этого элемент пирамиды обозначается  $3_{-3}^{-5} 1$  или просто  $3_{-3}^{-5} 1$  (мотивация приведена ниже), и полином содержит  $D = 5 + 3 = 8$  слагаемых, как для базового элемента единичного параллелепипеда:

которая в данном случае неквадратная, размером  $5 \times 8$ :

$$\text{или} \quad \mathbf{W}_{[5 \times 8]} \cdot \mathbf{a}_8 = \mathbf{z}_5. \tag{9}$$

Другие элементы этого типа – четырёхугольная пирамида  $3_{-8}^{-5} 1$  и трёхгранная призма  $3_{-9}^{-6} 1$  с дополнительными узлами на серединах сторон. В обоих случаях интерполяционные полиномы базируются на 20-членном полиноме параллелепипеда, так как  $5 + 8 + 7 = 20$  и  $6 + 9 + 5 = 20$ .



данном параграфе для краткости). Отрицательное значение  $-1$  может пониматься как  $\pm 1$ , так как этот узел вводится временно для увеличения порядка полинома до 10

$$Z^{\text{Baz}}(x_7, y_7) = -\frac{1}{9}(Z_1 + Z_2 + Z_3) + \frac{4}{9}(Z_4 + Z_5 + Z_6), \quad (14)$$

где перемещения  $Z_4, Z_5, Z_6$  в дополнительных узлах на сторонах также вычисляются через средневзвешенные узловые переме-

$$Z_{3+i} = \frac{1}{2}(Z_i + Z_{i \bmod 3+1}) - \frac{1}{8}((Z_{i \bmod 3+1,1} - Z_{i,1})(x_{i \bmod 3+1} - x_i) + (Z_{i \bmod 3+1,2} - Z_{i,2})(y_{i \bmod 3+1} - y_i)).$$

За исключением граничного условия (14), которое соответствует строке  $_{-1} 1$  в коде элемента, применяются обычные ус-

$$Z^{\text{Baz}}(x_i, y_i) = Z_i, \quad \frac{\partial}{\partial x} Z^{\text{Baz}}(x_i, y_i) = Z_{i,1}, \quad \frac{\partial}{\partial y} Z^{\text{Baz}}(x_i, y_i) = Z_{i,2}, \quad i = 1, 2, 3. \quad (15)$$

Таким образом, в этом случае матрица перемешивания узловых координат  $\mathbf{B}$  в уравнении (2) имеет размер  $10 \times 9$  и являет-

$$B_{10,3i-2}^{\text{Baz}} = \frac{1}{3}, \quad B_{10,3i-1}^{\text{Baz}} = \frac{1}{18}(x_j - 2x_i + x_k), \quad B_{10,3i}^{\text{Baz}} = \frac{1}{18}(y_j - 2y_i + y_k), \quad (i, j, k) = \Theta(1, 2, 3).$$

Функции формы в явном выглядят следующим образом:

$$s_{i,0}^{\text{Baz}}(x, y) = L_i^2(L_i + 3L_j + 3L_k) + 2L_1L_2L_3, \quad \{i, j, k\} = \Theta(1, 2, 3),$$

$$s_{i,1}^{\text{Baz}}(x, y) = L_i^2((x_j - x_i)L_j - (x_i - x_k)L_k) - \frac{1}{2}(2x_i - x_k - x_j)L_1L_2L_3,$$

$$s_{i,2}^{\text{Baz}}(x, y) = L_i^2((y_j - y_i)L_j - (y_i - y_k)L_k) - \frac{1}{2}(2y_i - y_k - y_j)L_1L_2L_3.$$

### 2.5. Треугольные пластины с дискретными условиями Кирхгофа

В строительной механике известен треугольный элемент пластины с дискретными условиями Кирхгофа (DKT в англоязычной литературе) 4]. В каждом узле  $i$  он имеет три узловые координаты, как и в предыдущем случае,  $Z_i, \frac{\partial}{\partial x} Z_i = Z'_{xi}$  и  $\frac{\partial}{\partial y} Z_i = Z'_{yi}$ , что формально соответствует коду 2331. Однако из-за наличия дефекта,

членов. Его перемещение  $Z_7$  не входит в число координат, так как его заменяют на средневзвешенное значение перемещений шести узлов, показанных на рисунке.

щения и наклоны в узлах 1, 2 и 3 ( $i = 1, \dots, 3$ ):

ловия для кода  $^{33}$  в соответствии с уравнением (2):

ся почти единичной (кроме последней, 10-й строки):

описанного выше, элемент DKT основан на вспомогательном элементе (2612), который имеет два полных полинома второго порядка с 6 членами. Вспомогательными координатами в каждом узле являются  $\frac{\partial}{\partial x} \tilde{Z}_i = \tilde{Z}'_{xi}$  и  $\frac{\partial}{\partial y} \tilde{Z}_i = \tilde{Z}'_{yi}$ . В работе 8] этот элемент имел обозначение

$$2331^{(2612)}\{\tilde{Z}'_{xi} = Z'_{xi}; \tilde{Z}'_{yi} = Z'_{yi}; \tilde{Z}_{i+3}^n = \frac{1}{2}(Z_i^n + Z_{i \bmod 3+1}^n); \tilde{Z}_{i+3}^t = \frac{3}{2L_i}(Z_{i \bmod 3+1} - Z_i) - \frac{1}{4}(Z_i^t + Z_{i \bmod 3+1}^t); i=1, 2, 3\} \quad (16)$$

Преобразование между наборами координат  $\tilde{Z}$  и  $Z$  в формуле (16) означает, что нормальные  $^n$  и тангенциальные  $^t$  производные от перемещений  $\tilde{Z}$ , вычисленные во вспомогательном элементе 2612, равны соответствующим производным от перемещений  $Z$  в искомом элементе в вершинах и серединах сторон треугольника, т.е.

в дискретном наборе точек (отсюда и название). Поскольку упомянутые производные в серединах сторон отсутствуют в наборе  $Z$ , они интерполируются через узловые значения, как указано в формуле. Матричный вид данного преобразования таков:



$$\begin{bmatrix} 1 & 0 & 0 & 0 & 0 & 0 & 0 & 0 & 0 & 0 \\ 0 & 1 & 0 & 0 & 0 & 0 & 0 & 0 & 0 & 0 \\ 0 & 0 & 1 & 0 & 0 & 0 & 0 & 0 & 0 & 0 \\ 0 & 0 & 0 & 1 & 0 & 0 & 0 & 0 & 0 & 0 \\ 0 & 0 & 0 & 0 & 1 & 0 & 0 & 0 & 0 & 0 \\ 0 & 0 & 0 & 0 & 0 & 1 & 0 & 0 & 0 & 0 \\ 0 & 0 & 0 & 0 & 0 & 0 & c_1 & s_1 & 0 & 0 \\ 0 & 0 & 0 & 0 & 0 & 0 & -s_1 & c_1 & 0 & 0 \\ 0 & 0 & 0 & 0 & 0 & 0 & 0 & 0 & c_2 & s_2 \\ 0 & 0 & 0 & 0 & 0 & 0 & 0 & 0 & -s_2 & c_2 \\ 0 & 0 & 0 & 0 & 0 & 0 & 0 & 0 & 0 & c_3 & s_3 \\ 0 & 0 & 0 & 0 & 0 & 0 & 0 & 0 & 0 & -s_3 & c_3 \end{bmatrix} \cdot \begin{Bmatrix} \tilde{Z}'_{x1} \\ \tilde{Z}'_{y1} \\ \tilde{Z}'_{x2} \\ \tilde{Z}'_{y2} \\ \tilde{Z}'_{x3} \\ \tilde{Z}'_{y3} \\ \tilde{Z}'_{x4} \\ \tilde{Z}'_{y4} \\ \tilde{Z}'_{x5} \\ \tilde{Z}'_{y5} \\ \tilde{Z}'_{x6} \\ \tilde{Z}'_{y6} \end{Bmatrix} = \begin{bmatrix} 0 & 1 & 0 & 0 & 0 & 0 & 0 & 0 & 0 & 0 \\ 0 & 0 & 1 & 0 & 0 & 0 & 0 & 0 & 0 & 0 \\ 0 & 0 & 0 & 1 & 0 & 0 & 0 & 0 & 0 & 0 \\ 0 & 0 & 0 & 0 & 1 & 0 & 0 & 0 & 0 & 0 \\ 0 & 0 & 0 & 0 & 0 & 1 & 0 & 0 & 0 & 0 \\ 0 & 0 & 0 & 0 & 0 & 0 & 1 & 0 & 0 & 0 \\ 0 & \frac{c_1}{2} & \frac{s_1}{2} & 0 & 0 & \frac{c_1}{2} & \frac{s_1}{2} & 0 & 0 & 0 \\ \frac{-3}{2L_1} & \frac{s_1}{4} & \frac{-c_1}{4} & \frac{3}{2L_1} & \frac{s_1}{4} & \frac{-c_1}{4} & 0 & 0 & 0 & 0 \\ 0 & 0 & 0 & 0 & \frac{c_2}{2} & \frac{s_2}{2} & 0 & \frac{c_2}{2} & \frac{s_2}{2} \\ 0 & 0 & 0 & 0 & \frac{-3}{2L_2} & \frac{s_2}{4} & \frac{-c_2}{4} & \frac{3}{2L_2} & \frac{s_2}{4} & \frac{-c_2}{4} \\ 0 & \frac{c_3}{2} & \frac{s_3}{2} & 0 & 0 & \frac{c_3}{2} & \frac{s_3}{2} & 0 & 0 & 0 \\ \frac{3}{2L_3} & \frac{s_3}{4} & \frac{-c_3}{4} & 0 & 0 & 0 & \frac{-3}{2L_3} & \frac{s_3}{4} & \frac{-c_3}{4} \end{bmatrix} \cdot \begin{Bmatrix} Z_1 \\ Z'_{x1} \\ Z'_{y1} \\ Z_2 \\ Z'_{x2} \\ Z'_{y2} \\ Z_3 \\ Z'_{x3} \\ Z'_{y3} \end{Bmatrix}$$

$$\mathbf{L} \cdot \tilde{\mathbf{z}}^{2612} = \mathbf{T}_{12 \times 9}^* \cdot \mathbf{z}^{2331}.$$

Интерполяционные полиномы и матрица функций формы полученного элемента:

$${}_{2331(2612)} \mathbf{r}(x, y) = \mathbf{S}^{2612}(x, y) \cdot \tilde{\mathbf{z}}^{2612} = \underbrace{\mathbf{S}^{2612}(x, y) \cdot \mathbf{L}^{-1} \cdot \mathbf{T}_{12 \times 9}^*}_{\mathbf{S}^{2331(2612)}(x, y)} \cdot \mathbf{z}^{2331} = \mathbf{S}^{2331(2612)}(x, y) \cdot \mathbf{z}^{2331}.$$

Систематическое обозначение этого элемента следующее:  $2_{-3}^3 110 - 3$ . Значение  $-3$  вновь означает  $\pm 3$ , т.е. временное введение узлов на серединах сторон, а параметр

$\zeta = 110$  – это двоичный код производных в этих узлах.  $2_{-3}^3 110 - 3$  можно сократить до 233-1.

### 2.6. Интегральные узловые координаты при $c < 0$

*Элемент Вильсона.* Существует класс элементов, в которых узловые координаты могут зависеть от интегралов по площади

(или граням) элемента. Простой пример – это элемент Вильсона (рис. 3, слева).

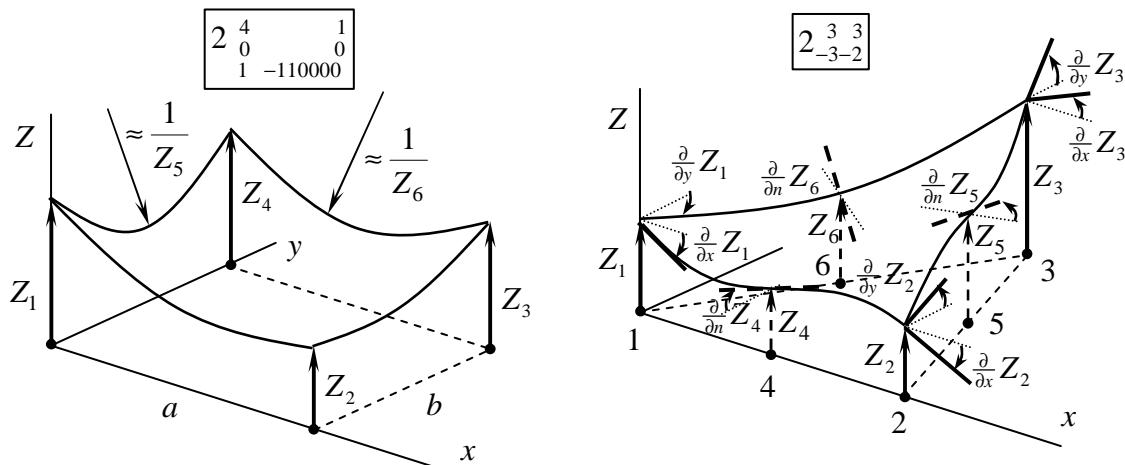


Рис. 3. Элемент Вильсона; элемент Шпехта

Поле перемещений элемента  $Z(x, y)$ , согласно формулам **Ошибка! Источник ссылки не найден.** и (4), содержит 6 полиномиальных членов и 6 узловых координат. Четыре из них – это узловые пере-

мещения  $Z_1, \dots, Z_4$ , а оставшиеся две – усреднённые по площади элемента значения вторых производных от перемещения по локальным направлениям  $x$  и  $y$ :

$$\begin{aligned}
 Z(x_1, y_1) &= Z_1, \quad Z(x_2, y_2) = Z_2, \quad Z(x_3, y_3) = Z_3, \quad Z(x_4, y_4) = Z_4, \\
 \frac{1}{ab} \int_0^a \left( \int_0^b \frac{\partial^2 Z(x, y)}{\partial y^2} dy \right) dx &= Z_5, \quad \frac{1}{ab} \int_0^a \left( \int_0^b \frac{\partial^2 Z(x, y)}{\partial x^2} dy \right) dx = Z_6.
 \end{aligned} \tag{17}$$

Указанные в (17) вторые производные соответствуют двоичному коду 110000, но поскольку эти величины стоят под знаком интеграла, им соответствует отрицательное значение – 110000. Мнемоника данного обозначения ясна: отрицательная производная означает интегрирование. Наконец, поскольку интегрирование

ведётся по площади, а не по сторонам элемента, этот код помещён в третью строку кода (в соответствии с п. 1). В итоге код элемента выглядит так: 
$$\begin{matrix} 2 & 4 & & 1 \\ 0 & & & 0 \\ & & & -110000 \end{matrix} \equiv \text{Wil.}$$

Функции формы имеют вид

$$s_{i,0}^{\text{Wil}} = \frac{1}{4}(1 \pm \xi)(1 \pm \eta), \quad i = 1, \dots, 4; \quad s_{5,0}^{\text{Wil}} = \frac{1}{2}(\xi^2 - 1), \quad s_{6,0}^{\text{Wil}} = \frac{1}{2}(\eta^2 - 1).$$

Треугольный элемент Шпехта 10] (рис. 3, справа) в работе 8] обозначен так:

$$233 \binom{2^3 3^3}{3^2} \{ \bar{Z}_n = Z_n; \bar{Z}'_{xn} = Z'_{xn}; \bar{Z}'_{yn} = Z'_{yn}; \int_{L_n} \bar{Z} d\tau = \frac{L_n}{2}(Z_n + Z_{n+1}) + \frac{L_n}{12}(Z_n^4 - Z_{n+1}^4); \int_{L_n} \bar{Z}^n d\tau = \frac{L_n}{2}(Z_{n+1}^n - Z_n^n); n=1, \dots, 3 \} \quad (18)$$

Элемент имеет  $3 \cdot 3 = 9$  узловых координат, как типичный элемент пластины. Однако его интерполяционный полином  $Z(x, y)$  соответствует вспомогательному элементу  $\binom{2^3 3^3}{3^2}$  и поэтому содержит  $3 \cdot 3 + 3 \cdot 2 = 15$  членов с неопределёнными коэффициентами, согласно формуле **Ошибка! Источник ссылки не найден.**, т.е. является полным полиномом четвёртой степени по  $x$  и  $y$ . Девять граничных условий для нахождения коэффициентов соответствуют девяти узловым степеням свободы, как в уравнении (15). Дополнительные 6 условий накладываются в соответствии с так называемым «тестом заплатки» 10]: интегралы от перемещения  $\check{Z}$  и его нормальной производной  $\check{Z}^n$  вдоль каждой стороны  $L_i$  должны определяться координатами в узлах этой стороны.

Краткая, но исчерпывающая нотация для этого элемента:  $2 \cdot 3 \cdot 3 \cdot 3$ . Минус в показателе производных от координат -2 показывает два интегрирования в формуле (18) как обратные операции для дифференцирования. Знак «минус» в числе узлов -3 означает, что соответствующие интегральные степени свободы не вводятся в качестве новых координат, как в элементе Вильсона, а, напротив, исключаются путём интерполирования, как указано выше.

Элемент Вёбеке – это прямоугольный конформный элемент пластины, предложенный в работе 5], один из самых удачных в своём роде; обозначается  $2 \cdot 4 \cdot 3 \cdot 3$ .

### 3. Неполиномиальные функции формы

Выше в тексте функции формы для элемента с  $D$  степенями свободы содержали только полиномиальные члены. Например, для одномерного случая:  $w_0 = 1, w_1 = x, w_2 = x^2, \dots, w_{D-1} = x^{D-1}$ . Все они являются решениями дифференциального уравнения

$w^{(D)} = 0$ . Коэффициенты этого уравнения можно свести в вектор  $\{1, 0, 0, \dots, 0\}$ , используемый по умолчанию. Вообще, встречаются обобщения этого уравнения с произвольным набором коэффициентов:

$$\frac{d^D w}{dx^D} + c_{D-1} \frac{d^{D-1} w}{dx^{D-1}} + \dots + c_2 \frac{d^2 w}{dx^2} + c_1 \frac{dw}{dx} + c_0 w = 0.$$

Тогда элемент может быть обозначен так:  $dncm \{1, c_{D-1}, \dots, c_2, c_1, c_0\}$ . Примеры:

$$122 \quad w_k = \{1, x, x^2, x^3\} \text{ – обычный балочный элемент;}$$

$$122\{1, 0, 0, 0, -b^4\} \quad w_k = \{\cos bx, \sin bx, e^{bx}, e^{-bx}\}; \quad w_k = \{\cos bx, \sin bx, \cosh bx, \sinh bx\} \text{ –}$$

гиперболические функции формы;

$$w_k = \{\cosh bx + \cos bx, \sinh bx + \sin bx, \cosh bx - \cos bx, \sinh bx - \sin bx\} \text{ – функции Крылова;}$$

$$122\{1, 0, -b^2, 0, 0\} \quad w_k = \{1, x, e^{bx}, e^{-bx}\}; \quad w_k = \{1, x, \cosh bx, \sinh bx\};$$

$$122\{1, 0, a, 0, b\} \quad w_k = \{\cosh kx \cos lx, \cosh kx \sin lx, \sinh kx \cos lx, \sinh kx \sin lx\} \quad - \text{ это}$$

модифицированные функции Крылова, встречающиеся, например, в работе 1].

### Заключение

В данной статье продолжена разработка десятичного номенклатурного кода *dncm*, созданного для систематического однозначного и конструктивного обозначения произвольного конечного элемента, учитывающего его геометрию, структуру

узлов, узловых координат и других параметров. Значительно расширен круг конечных элементов, который может быть описан с помощью предложенного подхода. Приведены примеры конкретных элементов, используемых на практике.

### СПИСОК ЛИТЕРАТУРЫ

1. Дмитроченко, О.Н. Десятичный номенклатурный код *dncmkot* для идентификации существующих и автоматической генерации новых конечных элементов / О.Н. Дмитроченко // Вестник Брянского государственного технического университета. - 2017. - № 1. - С. 207-217.
1. Власов, В.З. Балки, плиты и оболочки на упругом основании / В.З. Власов, Н.Н. Леонтьев. - М.: Физматлит, 1960. - 491 с.
2. Allman, D.J. A compatible triangular element including vertex rotations for plane elasticity analysis / D.J. Allman // Computers and Structures. - 1984. - № 19 (1). - P. 1-8.
3. Bazeley, G.P. Triangular Elements in Bending - Conforming and Nonconforming Solutions / G.P. Bazeley, Y.K. Cheung, B.M. Irons, O.C. Zienkiewicz // Proc. Conf. Matrix Methods in Struct. Mech. - Air Force Inst. Of Tech., Wright Patterson A. F. Base, Ohio, 1965.
4. Cook, R.D. Concepts and Applications of Finite Element Analysis / R.D. Cook, D.S. Malkus, M.E. Plesha, R.T. Witt. - Fourth edition. - John Wiley & Sons, Inc. - 2002.
5. Veubeke, B.F. Variational principles and the path test / B.F. Veubeke // Int. J. Num. Meth. Eng. - 1974. - № 8(4). - P. 783-801.
1. Dmitrochenko, O.N. Decimal nomenclature code *dncmkot* for identification of existing finite elements and automatic generation of new finite elements / O.N. Dmitrochenko // *Bulletin of Bryansk State Technical University* - 2017. - № 1. - pp. 207-217.
11. Vlasov, V.Z. *Elastic Based Beams, Plates and Casings* / V.Z. Vlasov, N.N. Leontiev - M.: Physmathlit, 1960. - pp. 491 с.
12. Allman, D.J. [A compatible triangular element including vertex rotations for plane elasticity analysis](#) / D.J. Allman // Computers and Structures. - 1984. - № 19 (1). - P. 1-8.
13. Bazeley, G.P. Triangular Elements in Bending - Conforming and Nonconforming Solutions / G.P. Bazeley, Y.K. Cheung, B.M. Irons, O.C. Zienkiewicz // Proc. Conf. Matrix Methods in Struct. Mech. - Air Force Inst. Of Tech., Wright Patterson A. F. Base, Ohio, 1965.
6. Dmitrochenko, O. A formal procedure and invariants of a transition from conventional finite elements to the absolute nodal coordinate formulation / O. Dmitrochenko, A. Mikkola // *Multibody System Dynamics*. - 2009. - № 22 (4). - P. 323-339.
7. Dmitrochenko, O. Digital Nomenclature Code for Topology and Kinematics of Finite Elements based on the Absolute Nodal Coordinate Formulation / O. Dmitrochenko, A. Mikkola // *Proc. of the Inst. of Mech. Eng. Part K: J. of Multi-Body Dyn.* - 2011. - № 225(1). - P. 34-51.
8. Dmitrochenko, O. Extended digital nomenclature code for description of complex finite elements and generation of new elements / O. Dmitrochenko, A. Mikkola // *Mechanics Based Design of Structures and Machines*. - 2011. - № 39 (2). - P. 229-252.
9. Morley, L.S.D. The constant-moment plate-bending element / L.S.D. Morley // *J. of Strain Analysis for Engineering Purposes*. - 1971. - № 6 (1). - P. 20-24.
10. Specht, B. Modified shape functions for the three node plate bending element passing the patch test / B. Specht // *Int. J. of Numerical Methods in Engineering*. - 1988. - № 26 (3). - P. 705-715.
14. Cook, R.D. Concepts and Applications of Finite Element Analysis / R.D. Cook, D.S. Malkus, M.E. Plesha, R.T. Witt. - Fourth edition. - John Wiley & Sons, Inc. - 2002.
15. Veubeke, B.F. Variational principles and the path test / B.F. Veubeke // *Int. J. Num. Meth. Eng.* - 1974. - № 8(4). - P. 783-801.
16. Dmitrochenko, O. A formal procedure and invariants of a transition from conventional finite elements to the absolute nodal coordinate formulation / O. Dmitrochenko, A. Mikkola // *Multibody System Dynamics*. - 2009. - № 22 (4). - P. 323-339.
17. Dmitrochenko, O. Digital Nomenclature Code for Topology and Kinematics of Finite Elements based on the Absolute Nodal Coordinate Formulation / O. Dmitrochenko, A. Mikkola // *Proc. of the Inst. of Mech. Eng. Part K: J. of Multi-Body Dyn.* - 2011. - № 225(1). - P. 34-51.

- 
18. Dmitrochenko, O. Extended digital nomenclature code for description of complex finite elements and generation of new elements / O. Dmitrochenko, A. Mikkola // Mechanics Based Design of Structures and Machines. - 2011. - № 39 (2). - P. 229-252.
  19. Morley, L.S.D. The constant-moment plate-bending element / L.S.D. Morley // J. of Strain Analysis for Engineering Purposes. - 1971. - № 6 (1). - P. 20-24.
  20. Specht, B. Modified shape functions for the three node plate bending element passing the patch test / B. Specht // Int. J. of Numerical Methods in Engineering. - 1988. - № 26 (3). - P. 705-715.

*Статья поступила в редколлегию 27.01.17.*

*Рецензент: д.т.н., профессор Брянского государственного технического университета  
Сакало В.И.*

#### **Сведения об авторах:**

**Дмитроченко Олег Николаевич**, докторант Брянского государственного технического университета, e-mail: [dmitroleg@rambler.ru](mailto:dmitroleg@rambler.ru).

**Dmitrochenko Oleg Nikolayevich**, Doctoral student of Bryansk State Technical University, e-mail: [dmitroleg@rambler.ru](mailto:dmitroleg@rambler.ru).